

УДК 519.6

Об апостериорной аппроксимации множества решений системы уравнений квадратичной структуры с использованием метода Ньютона*

М.Ю. Кокурин, А.И. Козлов

Марийский государственный университет, пл. им. Ленина, 1, Йошкар-Ола, 424001
E-mails: kokurinm@yandex.ru (Кокурин М.Ю.), matemanaliz@rambler.ru (Козлов А.И.)

Кокурин М.Ю., Козлов А.И. Об апостериорной аппроксимации множества решений системы уравнений квадратичной структуры с использованием метода Ньютона // Сиб. журн. вычисл. математики / РАН. Сиб. отд-ние. — Новосибирск, 2014. — Т. 17, № 1. — С. 53–65.

Для квадратичных систем алгебраических уравнений предлагается алгоритм апостериорной аппроксимации выпуклой оболочки множества решений по результатам шага метода Ньютона. Приведены результаты численных экспериментов.

Ключевые слова: квадратичный оператор, метод Ньютона, апостериорная оценка, числовой образ, выпуклая оболочка.

Kokurin M.Yu., Kozlov A.I. On a posteriori approximation of a set of solutions to a system of quadratic equations with the use of the Newton method // Siberian J. Num. Math. / Sib. Branch of Russ. Acad. of Sci. — Novosibirsk, 2014. — Vol. 17, № 1. — P. 53–65.

For quadratic systems of algebraic equations we propose an algorithm generating a posteriori estimates of a convex hull of a set of solutions using the results of a step of the Newton method. Results of numerical tests are given.

Key words: quadratic operator, the Newton method, a posteriori estimate, numerical range, convex hull.

1. Введение

Объектом исследования в работе является система нелинейных уравнений:

$$F(x) = 0, \quad x \in \mathbb{R}^n, \quad (1)$$

определяемая оператором $F : \mathbb{R}^n \rightarrow \mathbb{R}^n$ квадратичной структуры

$$F(x) = \frac{1}{2}\Lambda[x]^2 + Ax + f. \quad (2)$$

Здесь $A \in \mathbb{R}^{n \times n}$, $f \in \mathbb{R}^n$, $\Lambda[x]^2 = \Lambda[x, x]$,

$$\Lambda[x, y] = ((Q_1x, y), \dots, (Q_nx, y))^T, \quad x, y \in \mathbb{R}^n. \quad (3)$$

Считаем, что $Q_j^T = Q_j \in \mathbb{R}^{n \times n}$, $j = 1, \dots, n$, и множество решений X^* задачи (1)–(3) непусто.

*Работа выполнена при поддержке РФФИ (проект № 12-01-00239а).

В общем случае вещественное алгебраическое многообразие X^* может иметь достаточно сложную структуру, в том числе содержать наряду с отдельными точками подмногообразия различных положительных размерностей. Традиционная логика применения численных методов решения систем нелинейных уравнений сводится к отысканию в пределе итерационного процесса некоторого одного элемента из множества решений. В том случае, когда наряду с отысканием отдельного решения интерес представляет и выяснение глобальной структуры множества решений, подобная техника оказывается малоэффективной. В настоящей работе предлагается способ дополнения одной из стандартных вычислительных процедур — метода Ньютона — апостериорным алгоритмом локализации множества X^* в целом. Предлагаемая схема позволяет единообразно конструировать различные внешние выпуклые многогранные аппроксимации выпуклой оболочки $\text{conv}(X^*)$ множества решений. Возможности рассматриваемой техники иллюстрируются численными примерами.

2. Вспомогательные построения

Зафиксируем начальное приближение $x_0 \in \mathbb{R}^n$. Предполагая регулярность оператора $F'(x_0)$, т. е. невырожденность матрицы $F'(x_0) \in \mathbb{R}^{n \times n}$, выполним один шаг метода Ньютона и определим приближение

$$N(x_0) = x_0 - F'(x_0)^{-1}F(x_0). \quad (4)$$

Здесь на основании (2), (3):

$$F'(x)h = Ah + \Lambda[x, h], \quad x, h \in \mathbb{R}^n. \quad (5)$$

Для произвольного элемента $x^* \in X^*$ с использованием (2), (4), (5) получаем

$$N(x_0) - x^* = F'(x_0)^{-1}[F'(x_0)(x_0 - x^*) - F(x_0)] = \frac{1}{2}F'(x_0)^{-1}\Lambda[x_0 - x^*]^2. \quad (6)$$

Согласно (6):

$$x^* = N(x_0) - \frac{1}{2}F'(x_0)^{-1}\Lambda[x_0 - x^*]^2. \quad (7)$$

Равенство (7) является основным в последующих построениях. Оно позволяет по результату шага метода Ньютона уточнить имеющуюся априорную информацию об искомом решении или обо всем множестве решений. Именно, если априори известно, что $x^* \in G \subset \mathbb{R}^n$, то в силу (7) дополнительно выполняется

$$x^* \in N(x_0) + L(A, \Lambda, x_0)\Lambda[x_0 - G]^2, \quad (8)$$

где

$$L(A, \Lambda, x_0) = -\frac{1}{2}F'(x_0)^{-1}, \quad x_0 - G = \{x_0 - x : x \in G\}, \quad \Lambda[x_0 - G]^2 = \{\Lambda[x]^2 : x \in x_0 - G\},$$

$L(A, \Lambda, x_0)\Lambda[x_0 - G]^2$ — образ множества $\Lambda[x_0 - G]^2$ под действием оператора $L(A, \Lambda, x_0)$. Таким образом, после шага метода Ньютона исходная априорная информация $x^* \in G$ уточняется следующим образом:

$$x^* \in G \cap \{N(x_0) + L(A, \Lambda, x_0)\Lambda[x_0 - G]^2\}.$$

Поскольку точное описание образа $\Lambda[x_0 - G]^2$ множества $x_0 - G$ под действием квадра-

точного отображения $\Lambda[\cdot]^2$ возможно лишь в редких случаях, на практике естественно пользоваться подходящими внешними аппроксимациями $\tilde{\Lambda} \supset \Lambda[x_0 - G]^2$.

Предположим, что какая-либо априорная информация о расположении X^* отсутствует, тогда естественно положить $G = \mathbb{R}^n$. Согласно (8), в этом случае имеет место включение

$$X^* \subset N(x_0) + L(A, \Lambda, x_0)\Lambda[\mathbb{R}^n]^2. \quad (9)$$

Правая часть включения (9) определяет внешнюю коническую аппроксимацию множества X^* . В случае $n \geq 3$ численное определение множества $\Lambda[\mathbb{R}^n]^2$, стоящего в правой части (9), как правило, затруднительно. Одна из причин заключается в том, что при указанных значениях n это множество в общем случае невыпукло [1]. Численно реализуемые варианты намеченной схемы внешней аппроксимации множества решений (1) могут быть связаны с построением обозримой внешней выпуклой аппроксимации $\tilde{\Lambda}$ для конуса $\Lambda[\mathbb{R}^n]^2$. Поскольку в этом случае множество $L(A, \Lambda, x_0)\tilde{\Lambda}$ выпукло, включение (9) допускает следующее уточнение.

Теорема 1. Пусть множество $\tilde{\Lambda}$ выпукло и $\tilde{\Lambda} \supset \Lambda[\mathbb{R}^n]^2$. Тогда имеет место включение

$$\text{conv}(X^*) \subset \Xi(x_0) \equiv N(x_0) + L(A, \Lambda, x_0)\tilde{\Lambda}. \quad (10)$$

Следующее утверждение позволяет в отдельных случаях получить с использованием $\tilde{\Lambda}$ качественную информацию о структуре множества X^* .

Теорема 2. Предположим, что $\tilde{\Lambda} \neq \mathbb{R}^n$ — выпуклый конус, $\Lambda[\mathbb{R}^n]^2 \subset \tilde{\Lambda}$ и точка $x^* \in X^*$ такова, что $|F'(x^*)| \neq 0$. Тогда $x^* \notin \text{intconv}(X^*)$, т. е. x^* — граничная точка $\text{conv}(X^*)$.

Доказательство. Предположим, что $x^* \in \text{intconv}(X^*)$. В силу условия $|F'(x^*)| \neq 0$, метод Ньютона локально сходится к точке x^* [2, с. 333]. Поэтому, выбрав x_0 достаточно близко к x^* , получим также $N(x_0) \in \text{intconv}(X^*)$. Поскольку $\tilde{\Lambda} \neq \mathbb{R}^n$ и $L(A, \Lambda, x_0) : \mathbb{R}^n \rightarrow \mathbb{R}^n$ — линейное отображение, выполняется $L(A, \Lambda, x_0)\tilde{\Lambda} \neq \mathbb{R}^n$. Следовательно, выпуклый конус $N(x_0) + L(A, \Lambda, x_0)\tilde{\Lambda}$ с вершиной в точке $N(x_0)$ не содержит никакой открытой окрестности x^* , что противоречит включению (10). \square

В ходе доказательства установлено следующее утверждение, показывающее, что из любой начальной точки x_0 метод Ньютона не может сделать шаг внутрь $\text{conv}(X^*)$.

Теорема 3. Пусть $\tilde{\Lambda}$ удовлетворяет условию теоремы 2 и точка $x_0 \in \mathbb{R}^n$. Тогда $N(x_0) \notin \text{intconv}(X^*)$, т. е. $N(x_0)$ — граничная либо внешняя точка для $\text{conv}(X^*)$.

3. Построение конических аппроксимаций

Опишем предлагаемый способ построения выпуклой конической аппроксимации $\tilde{\Lambda}$ для невыпуклого в общем случае конуса $\Lambda[\mathbb{R}^n]^2$.

1) Рассмотрим вначале случай четной размерности $n = 2m$. Обозначим

$$K_j = \{((Q_{2j-1}x, x), (Q_{2j}x, x))^T : x \in \mathbb{R}^n\}, \quad j = 1, \dots, m.$$

Очевидно, K_j есть конус с центром в начале координат плоскости \mathbb{R}^2 , при этом граничные лучи не обязательно принадлежат K_j . Для построения K_j введем матрицу

$D_j = Q_{2j-1} + iQ_{2j} \in \mathbb{C}^{n \times n}$ и рассмотрим ее числовой образ

$$W(D_j) = \{(D_j z, z)_{\mathbb{C}^n} : \|z\|_{\mathbb{C}^n} = 1\}, \quad j = 1, \dots, m.$$

Известно [3, гл. 11], что $W(D_j)$ — выпуклое замкнутое множество на плоскости $\mathbb{C} \sim \mathbb{R}^2$, содержащее спектр матрицы D_j . Кроме того, K_j есть коническая оболочка $W(D_j)$ [4]:

$$K_j = \text{cone}(W(D_j)), \quad j = 1, \dots, m.$$

Имеет место включение

$$\Lambda[\mathbb{R}^n]^2 = \{((Q_1 x, x), \dots, (Q_n x, x)) : x \in \mathbb{R}^n\} \subset \overline{K}_1 \times \dots \times \overline{K}_m, \quad (11)$$

где черта сверху означает замыкание. На основании (11) положим

$$\tilde{\Lambda} = \overline{K}_1 \times \dots \times \overline{K}_m.$$

Для построения числового образа $W(D_j)$ ($j = 1, \dots, m$) будем пользоваться следующим утверждением.

Теорема 4 [5]. Пусть $D_j = Q_{2j-1} + iQ_{2j} \in \mathbb{C}^{n \times n}$, $Q_{2j-1}^\top = Q_{2j-1}$, $Q_{2j}^\top = Q_{2j} \in \mathbb{R}^{n \times n}$ и

$$Q_{2j-1,t} = Q_{2j-1} \cos t + Q_{2j} \sin t, \quad Q_{2j,t} = Q_{2j} \cos t - Q_{2j-1} \sin t, \quad t \in [0, 2\pi),$$

матрица P_t осуществляет ортогональное проектирование \mathbb{R}^n на собственное подпространство матрицы $Q_{2j-1,t}$, соответствующее ее наибольшему собственному значению. Пусть из всех собственных векторов v_t , $\|v_t\| = 1$, соответствующих наибольшему собственному значению матрицы $Q_{2j-1,t}$, выбраны v_t^+ , v_t^- , являющиеся также собственными векторами матрицы $P_t Q_{2j,t} P_t$ с наибольшим и наименьшим собственными значениями соответственно. Тогда для каждого $t \in [0, 2\pi]$ точки $(D_j v_t^+, v_t^+)$ и $(D_j v_t^-, v_t^-)$ принадлежат границе числового образа $W(D_j)$, $j = 1, \dots, m$.

Теорема 4 является основой следующего алгоритма для построения замкнутой конической оболочки \overline{K}_j , $j = 1, \dots, m$.

Алгоритм 1.

1. Определяется граница числового образа матрицы $D_j = Q_{2j-1} + iQ_{2j}$, $j = 1, \dots, m$.
 - 1.1. Для значений $t = t_k = 2\pi k/N$, $k = 0, 1, \dots, N-1$, определяются матрицы $Q_{2j-1,t}$, $Q_{2j,t}$.
 - 1.2. Для матрицы $Q_{2j-1,t}$ находится собственный вектор v_t , $\|v_t\| = 1$, соответствующий наибольшему собственному значению λ_t .
 - 1.3. Если значению λ_t соответствует одномерное собственное подпространство E_t , то находится одна граничная точка $W(D_j)$ с координатами:

$$((Q_{2j-1,t} v_t, v_t), (Q_{2j,t} v_t, v_t)).$$

- 1.4. Если $\dim E_t \geq 2$, то определяются векторы $v_t^+, v_t^- \in E_t$, соответствующие наибольшему и наименьшему собственным значениям матрицы $P_t Q_{2j,t} P_t$, после чего находятся две граничные точки $W(D_j)$ с координатами:

$$((Q_{2j-1,t} v_t^+, v_t^+), (Q_{2j,t} v_t^+, v_t^+)), \quad ((Q_{2j-1,t} v_t^-, v_t^-), (Q_{2j,t} v_t^-, v_t^-)).$$

2. Находится замкнутая коническая оболочка $\overline{K}_j = \overline{\text{cone}(W(D_j))}$.

- 2.1. Если граничные точки $W(D_j)$ лежат во всех четырех координатных четвертях, то $\overline{K}_j = \mathbb{R}^2$.
- 2.2. В противном случае среди граничных точек выбираются те, радиус-векторы которых образуют наименьший и наибольший углы $\varphi \in (-\pi, \pi]$ с фиксированной осью. Эти радиус-векторы и определяют коническую оболочку \overline{K}_j .

Поскольку \overline{K}_j ($j = 1, \dots, m$) есть выпуклый конус, могут представиться следующие случаи:

- (i) \overline{K}_j — коническая оболочка векторов единичной длины $b_{2j-1}, b_{2j} \in \mathbb{R}^2$, угол между которыми меньше π :

$$\overline{K}_j = \{y \in \mathbb{R}^2 : y = \alpha_{2j-1}b_{2j-1} + \alpha_{2j}b_{2j}; \quad \alpha_{2j-1}, \alpha_{2j} \geq 0\}.$$

- (ii) \overline{K}_j — полуплоскость

$$\overline{K}_j = \{y \in \mathbb{R}^2 : y = \alpha_{2j-1}b_{2j-1} + \alpha_{2j}b_{2j}; \quad \alpha_{2j-1} \in \mathbb{R}, \alpha_{2j} \geq 0\},$$

определяемая ортогональными единичными векторами $b_{2j-1}, b_{2j} \in \mathbb{R}^2$.

- (iii) \overline{K}_j — плоскость, которая определяется ортами $b_{2j-1}, b_{2j} \in \mathbb{R}^2$:

$$\overline{K}_j = \{y \in \mathbb{R}^2 : y = \alpha_{2j-1}b_{2j-1} + \alpha_{2j}b_{2j}; \quad \alpha_{2j-1}, \alpha_{2j} \in \mathbb{R}\}.$$

Поскольку второй и третий случаи отличаются от первого лишь условиями на коэффициенты α_{2j} и α_{2j-1} , дальнейшие построения опишем подробно лишь для случая (i).

В случае (i) для $\tilde{\Lambda}$ имеем представление

$$\tilde{\Lambda} = \left\{x \in \mathbb{R}^n : x = \sum_{k=1}^n \alpha_k a_k; \quad \alpha_k \geq 0, k = 1, \dots, n\right\}. \quad (12)$$

В (12) векторы $a_{2j-1}, a_{2j} \in \mathbb{R}^n$ имеют $(2j-1)$ -е и $2j$ -е координаты, совпадающие с координатами векторов $b_{2j-1}, b_{2j} \in \mathbb{R}^2$, а остальные координаты у этих векторов нулевые: $a_{2j-1} = (0, \dots, 0, b_{2j-1}^\top, 0, \dots, 0)^\top$, $a_{2j} = (0, \dots, 0, b_{2j}^\top, 0, \dots, 0)^\top$, $j = 1, \dots, m$. Далее, образом выпуклого конуса $\tilde{\Lambda}$ при действии оператором $L(A, \Lambda, x_0)$ является выпуклый конус

$$L(A, \Lambda, x_0)\tilde{\Lambda} = \left\{x \in \mathbb{R}^n : x = \sum_{k=1}^n \alpha_k c_k(x_0); \quad \alpha_k \geq 0, k = 1, \dots, n\right\}, \quad (13)$$

$$c_k(x_0) = L(A, \Lambda, x_0)a_k, \quad k = 1, \dots, n.$$

Из (13) следует, что выпуклый конус $\Xi(x_0)$, доставляющий согласно (10) внешнюю аппроксимацию $\text{conv}(X^*)$, имеет вид

$$\Xi(x_0) = \left\{x \in \mathbb{R}^n : x = N(x_0) + \sum_{k=1}^n \alpha_k c_k(x_0); \quad \alpha_k \geq 0, k = 1, \dots, n\right\}. \quad (14)$$

2) Пусть теперь $n = 2m+1$. Будем считать, что $(2m+1)$ -е уравнение в (1) определяется неотрицательной матрицей $Q_{2m+1} \geq O$, тогда вместо (11) справедливо включение

$$\Lambda[\mathbb{R}^n]^2 \subset \overline{K}_1 \times \dots \times \overline{K}_m \times \mathbb{R}_+, \quad \mathbb{R}_+ = [0, +\infty).$$

Поэтому вместо (12) имеем представление

$$\tilde{\Lambda} = \left\{ x \in \mathbb{R}^n : x = \sum_{k=1}^{n-1} \alpha_k a_k + \alpha_n e; \quad \alpha_k \geq 0, \quad k = 1, \dots, n \right\}, \quad (15)$$

где векторы $a_1, \dots, a_{n-1} \in \mathbb{R}^n$ строятся как и ранее и имеют последнюю компоненту нулевую, а $e = (0, \dots, 0, 1) \in \mathbb{R}^n$. При этом

$$\Xi(x_0) = \left\{ x \in \mathbb{R}^n : x = N(x_0) + \sum_{k=1}^{n-1} \alpha_k c_k(x_0) + \alpha_n g(x_0); \quad \alpha_k \geq 0, \quad k = 1, \dots, n \right\}, \quad (16)$$

$$g(x_0) = L(A, \Lambda, x_0)e.$$

Случай $Q_{2m+1} \leq O$ сводится к предыдущему умножением $(2m+1)$ -го уравнения на -1 . Если же матрица Q_{2m+1} знакопеременна, то в (15) и (16) ограничение неотрицательности на коэффициент α_n снимается.

Выбирая в вышеописанной схеме различные начальные точки $x_0 = x_0^{(l)}$, $l = 1, \dots, s$, в качестве внешней аппроксимации $\text{conv}(X^*)$ получаем выпуклый многогранник

$$\hat{\Xi} = \bigcap_{l=1}^s \Xi(x_0^{(l)}). \quad (17)$$

На практике наряду с параметрически заданными конусами (14) и (16) удобно иметь аппроксимации $\tilde{\Xi} \supset \text{conv}(X^*)$, определяемые системами линейных неравенств и допускающие поэтому более простую геометрическую интерпретацию. Простейший способ построения $\tilde{\Xi}$ сводится к тому, что выбирается пробная точка ξ и вычисляется ее проекция $p(\xi)$ на конус $\Xi(x_0)$. Предположим, что $\xi \notin \Xi(x_0)$. Обозначая через

$$\Pi(\Xi(x_0), \xi) = \{x \in \mathbb{R}^n : (\xi - p(\xi), x - p(\xi)) \leq 0\} \quad (18)$$

опорное полупространство к $\Xi(x_0)$ с внешней нормалью $\xi - p(\xi)$, проходящее через точку $p(\xi)$, получаем

$$\text{conv}(X^*) \subset \Xi(x_0) \subset \Pi(\Xi(x_0), \xi).$$

Нахождение проекции $p(\xi)$ сводится к задаче квадратичного программирования с простыми ограничениями. Например, в случае $n = 2m$ имеем $p(\xi) = N(x_0) + \sum_{k=1}^n \alpha_k^* c_k(x_0)$, вектор $(\alpha_1^*, \dots, \alpha_n^*)$ является решением задачи

$$\min \left\{ \left\| \xi - N(x_0) - \sum_{k=1}^n \alpha_k c_k(x_0) \right\|^2 : \alpha_k \geq 0, \quad k = 1, \dots, n \right\}.$$

Выбрав различные точки ξ_l , $l = 1, \dots, r$, положим

$$\tilde{\Xi} = \bigcap_{l=1}^r \Pi(\Xi(x_0), \xi_l). \quad (19)$$

Очевидно, что $\tilde{\Xi}$ представляет собой выпуклый многогранный конус, содержащий $\Xi(x_0)$.

Тот же прием применим и к многограннику $\hat{\Xi}$, определенному в (17) и доставляющему внешнюю выпуклую аппроксимацию $\text{conv}(X^*)$. При этом полагаем

$$\tilde{\Xi} = \bigcap_{l=1}^r \Pi(\hat{\Xi}, \xi_l). \quad (20)$$

Пусть, например, $n = 2m$ и $s = 2$. Тогда проекция $p(\xi)$, определяющая опорное подпространство $\Pi(\widehat{\Xi}, \xi)$, имеет вид $p(\xi) = N(x_0^{(1)}) + \sum_{k=1}^n \alpha_k^{(1)*} c_k(x_0^{(1)})$, где для отыскания вектора $(\alpha_1^{(1)*}, \dots, \alpha_n^{(1)*})$ решается задача квадратичного программирования с простыми ограничениями-неравенствами:

$$\min \left\{ \left\| \xi - N(x_0^{(1)}) - \sum_{k=1}^n \alpha_k^{(1)} c_k(x_0^{(1)}) \right\|^2 : N(x_0^{(1)}) + \sum_{k=1}^n \alpha_k^{(1)} c_k(x_0^{(1)}) = N(x_0^{(2)}) + \sum_{k=1}^n \alpha_k^{(2)} c_k(x_0^{(2)}); \alpha_k^{(1)}, \alpha_k^{(2)} \geq 0, k = 1, \dots, n \right\}. \quad (21)$$

4. Основной алгоритм и численные эксперименты

Вышеприведенные построения приводят к следующему алгоритму аппроксимации множества решений X^* системы (1)–(3).

Алгоритм 2.

1. Для каждой из матриц $D_j = Q_{2j-1} + iQ_{2j}$ с использованием алгоритма 1 определяются конусы \overline{K}_j , где $K_j = \text{cone}(W(D_j))$, $j = 1, \dots, m$; $m = \lfloor n/2 \rfloor$.
2. В зависимости от четности n определяются векторы (a_1, \dots, a_n) или (a_1, \dots, a_{n-1}, e) , описывающие согласно (12) или (15) внешнюю выпуклую коническую аппроксимацию $\tilde{\Lambda}$ для $\Lambda[\mathbb{R}^n]^2$.
3. Для выбранного начального приближения $x_0 \in \mathbb{R}^n$ согласно (4) определяется приближение метода Ньютона $N(x_0)$.
4. Согласно (14) или (16), определяется внешняя выпуклая коническая аппроксимация $\Xi(x_0)$ для $\text{conv}(X^*)$.
5. При необходимости для выбранного набора точек $x_0^{(l)}$, $l = 1, \dots, s$, согласно (17) строится внешняя выпуклая многогранная аппроксимация $\widehat{\Xi}$ для $\text{conv}(X^*)$. Для $\widehat{\Xi}$ в соответствии с (18), (20) может быть построена внешняя аппроксимация $\tilde{\Xi}$, определяемая системой линейных неравенств.

Первые два шага алгоритма реализуются только один раз, в отличие от них шаги 3–5 могут повторяться неоднократно с различными начальными точками.

Приведем примеры применения алгоритма. Ограничимся системами (1) при $n = 3, 4$. Все вычисления проводятся с точностью 10^{-4} .

Пример 1. Пусть $n = 3$, матрицы Q_j , $j = 1, 2, 3$, имеют вид:

$$Q_1 = \begin{pmatrix} 95.8 & 7.6 & 61.2 \\ 7.6 & 4 & 3.6 \\ 61.2 & 3.6 & 39.6 \end{pmatrix}, \quad Q_2 = \begin{pmatrix} 101.8 & 17.6 & 57.2 \\ 17.6 & 16 & 1.6 \\ 57.2 & 1.6 & 37.6 \end{pmatrix}, \quad Q_3 = \begin{pmatrix} 9.36 & 2.16 & 5.28 \\ 2.16 & 1.44 & 0.72 \\ 5.28 & 0.72 & 3.28 \end{pmatrix}.$$

Матрицу A и элемент f определим следующим образом:

$$A = \begin{pmatrix} 7.2 & 3.6 & 3.6 \\ 3.2 & 1.6 & 1.6 \\ 1.44 & 0.72 & 0.72 \end{pmatrix}, \quad f = \begin{pmatrix} 1.72 \\ 0.48 \\ 0.3312 \end{pmatrix}.$$

Множество решений системы (1) с указанными данными есть

$$X^* = \{(1.2, -1.4, -1.8)^\top, (2.0, -2.2, -3.0)^\top, (-2.0, -1.8, -3.0)^\top, (2.8, -2.6, -4.2)^\top\}.$$

Для заданных Q_1, Q_2 конус \overline{K}_1 определяется системой неравенств:

$$\begin{cases} 0.0843 x_1 - 135.5716 x_2 \leq 0, \\ 137.4066 x_1 - 0.0251 x_2 \geq 0. \end{cases}$$

Учитывая, что $Q_3 \geq 0$, аппроксимируем $\Lambda[\mathbb{R}^3]^2$ выпуклым конусом

$$\tilde{\Lambda} = \left\{ \alpha_1 \begin{pmatrix} 135.5716 \\ 0.0843 \\ 0 \end{pmatrix} + \alpha_2 \begin{pmatrix} 0.0251 \\ 137.4066 \\ 0 \end{pmatrix} + \alpha_3 \begin{pmatrix} 0 \\ 0 \\ 1 \end{pmatrix} : \alpha_1, \alpha_2, \alpha_3 \geq 0 \right\}.$$

Выберем начальное приближение $x_0^{(1)} = (1, 1, 1)^\top$ и, выполнив шаг метода Ньютона (4), получим

$$N(x_0^{(1)}) = (1.5120, -0.5020, -1.0180)^\top.$$

Реализуя п. 4 алгоритма 2, получаем для $\text{con}(X^*)$ следующую внешнюю выпуклую коническую аппроксимацию:

$$\begin{aligned} \Xi(x_0^{(1)}) &= N(x_0^{(1)}) + L(A, \Lambda, x_0^{(1)})\tilde{\Lambda} \\ &= \left\{ \begin{pmatrix} 1.5120 \\ -0.5020 \\ -1.0180 \end{pmatrix} + \alpha_1 \begin{pmatrix} 2.4031 \\ 0.2034 \\ -4.4858 \end{pmatrix} + \alpha_2 \begin{pmatrix} -6.9040 \\ 4.8815 \\ 10.1326 \end{pmatrix} + \alpha_3 \begin{pmatrix} 0.3007 \\ -0.3641 \\ -0.4149 \end{pmatrix} : \alpha_1, \alpha_2, \alpha_3 \geq 0 \right\}. \end{aligned}$$

Для нового начального приближения $x_0^{(2)} = (0, -4, -4)^\top$ аналогично получаем $N(x_0^{(2)}) = (0.9957, -3.0007, -3.4936)^\top$ и имеем другую коническую аппроксимацию

$$\begin{aligned} \Xi(x_0^{(2)}) &= N(x_0^{(2)}) + L(A, \Lambda, x_0^{(2)})\tilde{\Lambda} \\ &= \left\{ \begin{pmatrix} 0.9957 \\ -3.0007 \\ -3.4936 \end{pmatrix} + \alpha_1 \begin{pmatrix} -0.7568 \\ -0.5464 \\ 1.6859 \end{pmatrix} + \alpha_2 \begin{pmatrix} 4.0248 \\ -3.0135 \\ -5.8975 \end{pmatrix} + \alpha_3 \begin{pmatrix} -0.2355 \\ 0.2672 \\ 0.3307 \end{pmatrix} : \alpha_1, \alpha_2, \alpha_3 \geq 0 \right\}. \end{aligned}$$

Таким образом, $\text{con}(X^*) \subset \hat{\Xi} = \Xi(x_0^{(1)}) \cap \Xi(x_0^{(2)})$.

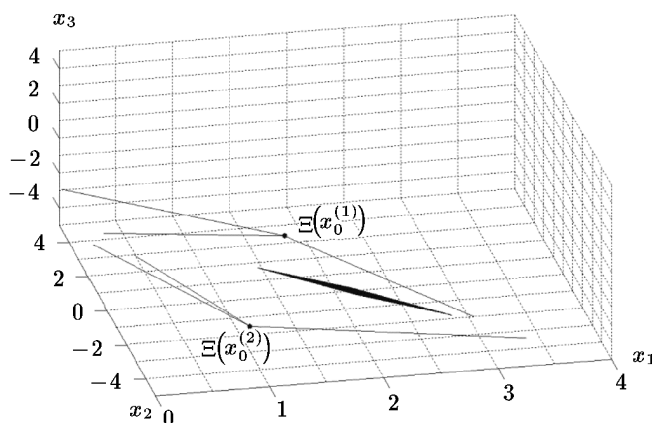


Рис. 1. Пример 1. Выпуклая оболочка решений и конусы

На рис. 1 конусы $\Xi(x_0^{(1)})$ и $\Xi(x_0^{(2)})$ показаны в виде трехгранных углов, содержащих внутри множество $\text{con}(X^*)$, изображенное в виде черного четырехугольника.

Пример 2. Положим $n = 4$,

$$Q_1 = \begin{pmatrix} 625 & -480 & -540 & 115 \\ -480 & 576 & 0 & -192 \\ -540 & 0 & 1296 & 108 \\ 115 & -192 & 108 & 73 \end{pmatrix}, \quad Q_2 = \begin{pmatrix} 625 & -270 & -960 & 10 \\ -270 & 324 & 0 & -108 \\ -960 & 0 & 2304 & 192 \\ 10 & -108 & 192 & 52 \end{pmatrix},$$

$$Q_3 = \begin{pmatrix} 144 & -72 & 72 & -144 \\ -72 & 520 & -476 & -280 \\ 72 & -476 & 436 & 248 \\ -144 & -280 & 248 & 400 \end{pmatrix}, \quad Q_4 = \begin{pmatrix} 16 & -8 & 8 & -16 \\ -8 & 4360 & -3964 & -3160 \\ 8 & -3964 & 3604 & 2872 \\ -16 & -3160 & 2872 & 2320 \end{pmatrix},$$

$$A = \begin{pmatrix} 680 & -384 & -864 & 56 \\ 820 & -216 & -1536 & -56 \\ -504 & -144 & 108 & 792 \\ -56 & -3536 & 3212 & 2648 \end{pmatrix}, \quad f = \begin{pmatrix} -366 \\ -534 \\ -864 \\ -1376 \end{pmatrix}.$$

Множество X^* в этом примере состоит из следующих 16 точек:

(1.2187, 1.7070, 1.4183, -0.9257)	(-0.1911, 0.1783, 0.5860, -1.9873)
(-1.9915, -2.4968, 0.4628, -5.5117)	(-3.4013, -4.0255, -0.3694, -6.5732)
(-0.9979, -0.6242, 0.6157, -2.3779)	(-2.4076, -2.1529, -0.2166, -3.4395)
(-4.2081, -4.8280, -0.3397, -6.9639)	(-5.6178, -6.3567, -1.1720, -8.0255)
(4.2845, 4.3567, 2.5053, 1.3588)	(2.8747, 2.8280, 1.6730, 0.2972)
(1.0743, 0.1529, 1.5499, -3.2272)	(-0.3355, -1.3758, 0.7176, -4.2887)
(2.0679, 2.0255, 1.7028, -0.0934)	(0.6582, 0.4968, 0.8705, -1.1550)
(-1.1423, -2.1783, 0.7473, -4.6794)	(-2.5520, -3.7070, -0.0849, -5.7410)

Выберем $x_0^{(1)} = (2, 2, 2, 2)$ и получим выпуклый конус

$$\Xi(x_0^{(1)}) = N(x_0^{(1)}) + L(A, \Lambda, x_0^{(1)}) \tilde{\Lambda} = \left\{ \begin{pmatrix} 1.2819 \\ 1.1907 \\ 1.5521 \\ 0.0341 \end{pmatrix} + \alpha_1 \begin{pmatrix} -0.4707 \\ -0.3819 \\ -0.1402 \\ -0.3498 \end{pmatrix} + \alpha_2 \begin{pmatrix} 0.1271 \\ 0.0655 \\ -0.0024 \\ 0.0931 \end{pmatrix} + \right. \\ \left. \alpha_3 \begin{pmatrix} -0.1100 \\ -0.1434 \\ -0.0329 \\ -0.1552 \end{pmatrix} + \alpha_4 \begin{pmatrix} 0.0345 \\ 0.0394 \\ 0.0117 \\ 0.0319 \end{pmatrix} : \alpha_1, \alpha_2, \alpha_3, \alpha_4 \geq 0 \right\}.$$

Выбирая новое начальное приближение $x_0^{(2)} = (-2, -2, -2, -2)$, будем иметь другой выпуклый конус, содержащий $\text{conv}(X^*)$:

$$\Xi(x_0^{(2)}) = N(x_0^{(2)}) + L(A, \Lambda, x_0^{(2)}) \tilde{\Lambda} = \left\{ \begin{pmatrix} 0,0802 \\ -0,0693 \\ -0,1895 \\ -1,4085 \end{pmatrix} + \alpha_1 \begin{pmatrix} -1.7897 \\ -1.5551 \\ -0.6435 \\ -1.3339 \end{pmatrix} + \alpha_2 \begin{pmatrix} 1.0526 \\ 0.9245 \\ 0.3890 \\ 0.7849 \end{pmatrix} + \right. \\ \left. \alpha_3 \begin{pmatrix} -0.0959 \\ -0.1286 \\ -0.0278 \\ -0.1460 \end{pmatrix} + \alpha_4 \begin{pmatrix} -0.0920 \\ -0.0936 \\ -0.0341 \\ -0.0510 \end{pmatrix} : \alpha_1, \alpha_2, \alpha_3, \alpha_4 \geq 0 \right\}.$$

Таким образом, $\text{conv}(X^*) \subset \hat{\Xi} = \Xi(x_0^{(1)}) \cap \Xi(x_0^{(2)})$. Наглядное представление о многограннике $\hat{\Xi} \subset \mathbb{R}^4$ можно получить, построив его сечения двумерными плоскостями.

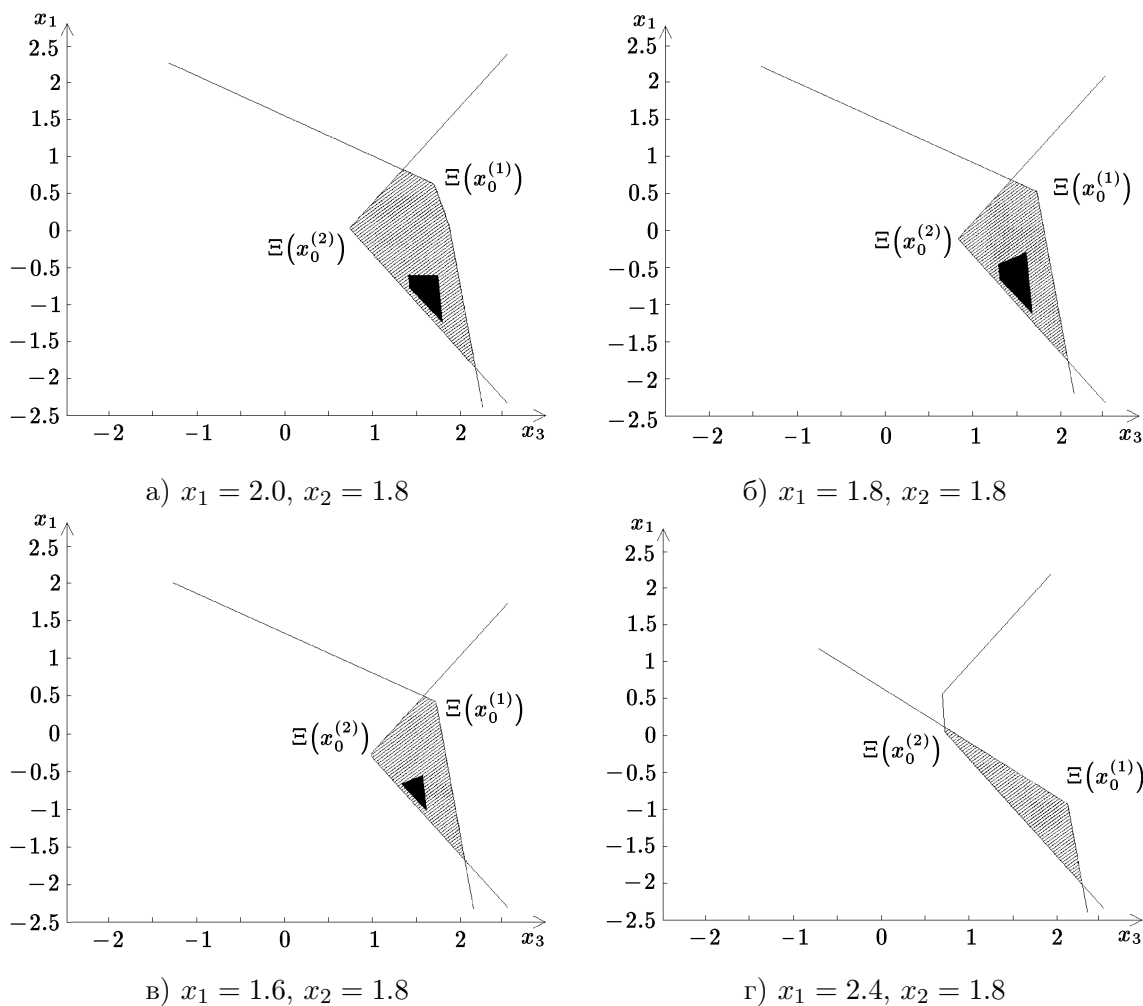


Рис. 2. Пример 2. Сечения $\text{conv}(X^*)$ и $\Xi(x_0^{(1)})$, $\Xi(x_0^{(2)})$

На рис. 2 показаны некоторые сечения конусов $\Xi(x_0^{(1)})$, $\Xi(x_0^{(2)})$, сечения $\text{conv}(X^*)$ изображены черными многоугольниками, сечения $\hat{\Xi} = \Xi(x_0^{(1)}) \cap \Xi(x_0^{(2)})$ заштрихованы. При $x_1 = 2.4, x_2 = 1.8$ сечение $\text{conv}(X^*)$ пусто (рис. 2, г).

Геометрическое представление о многогранном множестве $\hat{\Xi}$ можно получить также, выбрав различные точки ξ_l и записав согласно (20) пересечение соответствующих опорных полупространств. Для точек $\xi_l = (\pm 8, \pm 8, \pm 8, \pm 8)$, $l = 1, \dots, 16$, решая задачи (21), получаем следующий набор линейных неравенств, описывающих внешнюю многогранную аппроксимацию $\hat{\Xi}$:

$$\begin{cases} -0.4618x_1 - 0.4044x_2 + 1.9171x_3 + 0.2945x_4 \leq 1.9121; \\ -0.8218x_1 - 2.3433x_2 + 2.0929x_3 + 2.8249x_4 \leq -0.4991; \\ -4.6754x_1 + 4.3785x_2 - 4.1930x_3 + 3.1911x_4 \leq -4.3785; \\ -0.3655x_1 + 2.4478x_2 - 2.2419x_3 - 1.2818x_4 \leq 2.0312; \\ -0.5370x_1 - 0.8098x_2 + 0.7118x_3 + 1.3212x_4 \leq -0.5029; \\ -3.2329x_1 + 3.8323x_2 - 5.9744x_3 + 2.7830x_4 \leq -3.3126. \end{cases} \quad (22)$$

Точки $(8, 8, 8, 8)$, $(8, 8, -8, 8)$, $(8, 8, -8, -8)$, $(8, -8, 8, 8)$, $(8, -8, 8, -8)$, $(8, -8, -8, 8)$, $(8, -8, -8, -8)$, $(-8, 8, -8, -8)$, $(-8, -8, 8, 8)$, $(-8, -8, 8, -8)$ оказались лежащими внутри $\widehat{\Xi}$. Сечения опорных полупространств и многогранника $\text{conv}(X^*)$ двумерной плоскостью $x_1 = 1.8, x_2 = 1.8$ показаны на рис. 3. Номер полуплоскости соответствует порядковому номеру неравенства в (22), описывающего опорное полупространство. Сечение множества решений системы (22) на рис. 3 заштриховано.

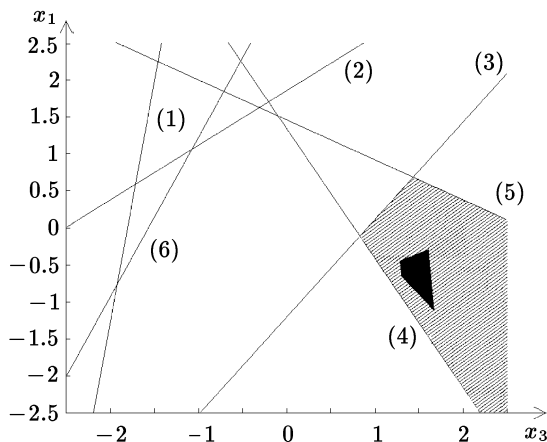


Рис. 3. Пример 2. Сечение $\text{conv}(X^*)$ и полупространств (22)

Пример 3. Рассмотрим систему уравнений:

$$\begin{cases} x_2^2 - x_1x_3 = 0; \\ x^2 - 2x_1x_3 = 0; \\ x_1^2 + x_2^2 + 2x_1 = 0; \\ x_3^2 + x_4^2 - 1 = 0. \end{cases} \quad (23)$$

Множество решений X^* системы (23) состоит из окружности $x_1 = x_2 = 0, x_3^2 + x_4^2 = 1$ и двух отдельных точек $(-2, 0, 0, -1), (-2, 0, 0, 1)$. Конус \overline{K}_1 совпадает с \mathbb{R}^2 , \overline{K}_2 является положительным квадрантом \mathbb{R}^2 . Сечение $\text{conv}(X^*)$ гиперплоскостью $x_2 = 0$ показано на рис. 4.

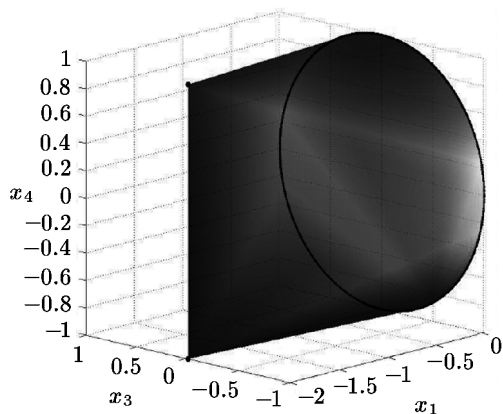


Рис. 4. Пример 3. Сечение $\text{conv}(X^*)$ гиперплоскостью $x_2 = 0$

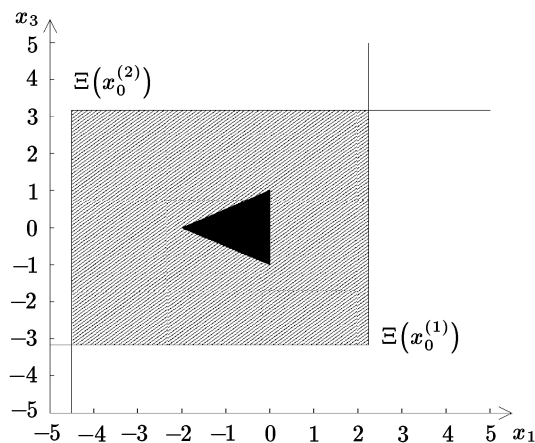


Рис. 5. Пример 3. Сечения $\text{conv}(X^*)$ и $\Xi(x_0^{(1)})$, $\Xi(x_0^{(2)})$ плоскостью $x_2 = 0, x_4 = 0$

Выберем начальные приближения $x_0^{(1)} = (3, 3, -3, 3)$ и $x_0^{(2)} = (-3, 3, 3, 3)$, получим конусы $\Xi(x_0^{(1)})$, $\Xi(x_0^{(2)})$, содержащие $\text{conv}(X^*)$. Сечением $\text{conv}(X^*)$ плоскостью $x_2 = 0, x_4 = 0$ является треугольник с вершинами $(-2, 0), (0, 1), (0, -1)$. На рис. 5 показаны

сечения конусов $\Xi(x_0^{(1)})$, $\Xi(x_0^{(2)})$ этой плоскостью, черным треугольником изображено сечение $\text{conv}(X^*)$ и заштриховано сечение многогранника $\hat{\Xi} = \Xi(x_0^{(1)}) \cap \Xi(x_0^{(2)})$.

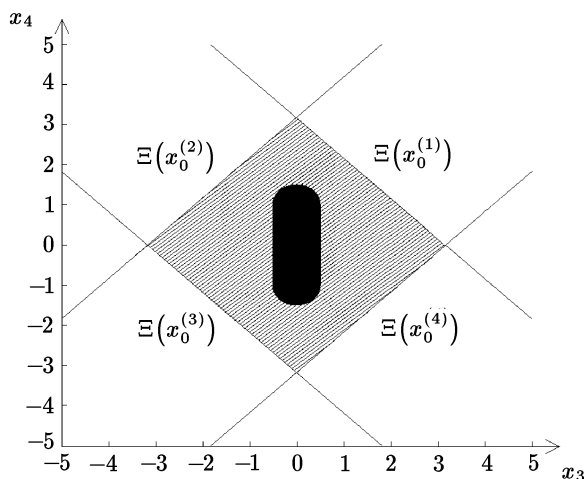


Рис. 6. Пример 3. Сечения $\text{conv}(X^*)$ и $\hat{\Xi}$ плоскостью $x_1 = -1$, $x_2 = 0$

Для других начальных точек $x_0^{(1)} = (3, 3, 3, 3)$, $x_0^{(2)} = (3, 3, -3, 3)$, $x_0^{(3)} = (3, 3, -3, -3)$, $x_0^{(4)} = (-3, 3, 3, -3)$ на рис. 6 показаны сечения конусов $\Xi(x_0^{(j)})$, $j = 1, \dots, 4$, плоскостью $x_1 = -1$, $x_2 = 0$. Черным выделено сечение $\text{conv}(X^*)$ и заштриховано сечение многогранника $\hat{\Xi} = \bigcap_{j=1}^4 \Xi(x_0^{(j)})$ этой плоскостью.

5. Обсуждение

Разработка методов отыскания или аппроксимации всего множества решений систем полиномиальных уравнений привлекает в последние годы растущее внимание исследователей. Наибольшее развитие в этом направлении получила техника, основанная на идеях гомотопической редукции к исходной системе некоторой модельной системы, решения которой записываются в явном виде [6]. Алгоритмы, использующие эту технику, предназначены для систем с изолированными решениями и включают трудоемкие процедуры численного интегрирования нелинейных систем дифференциальных уравнений с различными начальными условиями. Известны алгебраические подходы, основанные на последовательном исключении неизвестных с использованием базисов Гребнера [7]. К представленной в работе схеме близки методы внешней аппроксимации множества решений полиномиальных систем, основанные на представлении полиномов на кубе $[0, 1]^n$ в форме Бернштейна [8]. Эти методы имеют комбинаторный характер и используют последовательное исключение подобластей, полученных половинным делением исходного куба, которые заведомо не могут содержать точек из множества решений. В отличие от перечисленных трудоемких подходов, ориентированных на точную аппроксимацию невыпуклого множества решений, предлагаемая схема имеет целью эффективное отыскание внешних аппроксимаций выпуклой оболочки этого множества. Отметим, что ограничение уравнениями с полиномами второй степени формально не уменьшает общности построений, поскольку произвольные полиномиальные системы сводятся к квадратичным путем последовательных замен вида $y_{ij} = x_i x_j$.

Литература

1. Calabi E. Linear systems of real quadratic forms. II // Proc. Amer. Math. Soc. — 1982. — Vol. 84, № 3. — P. 331–334.
2. Бахвалов Н.С., Жидков Н.П., Кобельков Г.М. Численные методы. — М.: БИНОМ, 2007.

3. **Годунов С.К.** Современные аспекты линейной алгебры. — Новосибирск: Научная книга, 1997.
4. **Кокурин М.Ю.** О кривой П.А. Широкова и теоремах Хаусдорфа и Дайнса // Ученые записки Казанского государственного университета. Сер. Физико-математические науки. — 2009. — Т. 151, кн. 4. — С. 51–53.
5. **Cowen С.С., Harel Е.** An Effective Algorithm for Computing the Numerical Range. — West Lafayette, Indiana: Purdue University, Department of Mathematics, 1995. — (Technical report).
6. **Morgan А.** Solving Polynomial Systems Using Continuation for Engineering and Scientific Problems. — Englewood Cliffs, N.J.: Prentice Hall, 1987.
7. **Кокс Д., Литтл Дж., О’Ши Д.** Идеалы, многообразия и алгоритмы. Введение в вычислительные аспекты алгебраической геометрии и коммутативной алгебры. — М.: Мир, 2000.
8. **Garloff J., Smith А.Р.** Investigation of a subdivision based algorithm for solving systems of polynomial equations // J. of Nonlinear Analysis. — 2001. — Vol. 47, № 1. — P. 167–178.

Поступила в редакцию 27 ноября 2012 г.

